

本州四国連絡橋公团 正員 金崎 智樹  
 横浜国立大学 正員 山田 均  
 東京大学 正員 伊藤 学

## 1.はじめに

吊形式橋梁の風による自動振動現象は、その発生が橋梁を破壊へ導く恐れが強いので特に重視されている。しかしながら、形状の複雑さのために理論的に応答を予測することは不可能であり、現在のところ、個々の橋梁に対する耐風安定性を確かめる手段として風洞実験が実施されている。この風洞実験は、一様流中で行なわれるのが一般的であるが、自然風中での応答が一様流中の応答と一致するという検証を経てわけではない。実際、乱流を用いた風洞実験によると、一様流中よりも振れフラッタの発生する風速  $U_f$  のが高風速側へ移動するという例も示されており、また、乱れの効果の現われ方を種々の断面や迎角に対して一様でないという事実が指摘されている。<sup>2)</sup> 本研究は、自動振動に対する気流の乱れの効果の現われ方が断面や迎角によって異なる原因を解明するために、対象をト拉斯補剛桁の振れフラッタに限定して、床版表面の非定常圧力を測定することにより、自動振動発生メカニズムとの関連から考察を加えた。

## 2. 模型及び弹性支持振動応答特性

実験に使用した模型は、図-1に示すような断面を持ち、これを基本断面型とした。また、この断面の高欄を塞ぎた型路床としたものを高欄閉塞断面型とした。

これらの断面に対して迎角  $0^\circ$  の弹性支持振動実験を実施してところ、基本断面型 (Case 1.) は、一様流中では振動せず、乱流中でも  $U_f = 8$  で倍振幅程度のバフェティングが見られただけで、安定であった。高欄閉塞断面型 (Case 2.) は、一様流中、乱流中ともに  $U_f = 4$ 付近で振れフラッタを発生し、気流の乱れの影響は小さかった。

基本断面型、迎角  $4^\circ$  (Case 3.) の応答を調べたところ、一様流中では  $U_f = 4$  で振れフラッタを発生したが、乱流中では  $U_f = 7$  まで振れフラッタを起こさなかった。高欄閉塞断面型、迎角  $-4^\circ$  (Case 4.) の応答は、一様流中では  $U_f = 4$  で振れフラッタを発生したが、乱流では  $U_f = 8$  でも最大倍振幅のバフェティングしか見られなかつた。Case 2・3・4 の応答特性を図-2 に示す。

応答特性を比較する限り、Case 2・3・4 の順で気流の乱れの効果が大きく現われている。

## 3 非定常圧力特性

各ケースの一様流中と乱流中における応答特性の違いを考慮した上で、模型を倍振幅  $6^\circ$  で加振し、風速変化に伴う床版表面 (測点 1 ~ 12) の非定常圧力特性 ( $C_p$ , R.M.S.,  $C_{pr}$ ,  $C_{pi}$ ,  $\beta$  等) の変化を比較した。その結果、振れフラッタを起こさない Case 1 では、

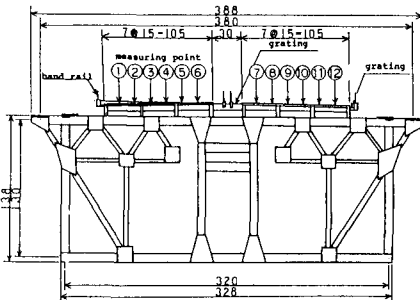
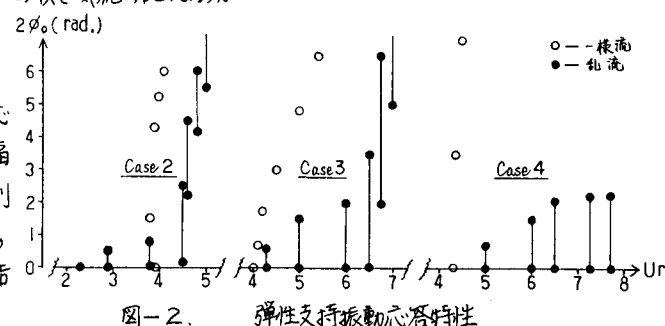


図-1. 模型断面

	Case 1	基本断面型	迎角 $0^\circ$
- 2	高欄閉塞断面型	" $0^\circ$	
- 3	基本断面型	" $+4^\circ$	
- 4	高欄閉塞断面型	" $-4^\circ$	

表-1. 実験ケース



一様流中と乱流中とで顕著な差が見られなかった。他の流れフラッタを起こすケースでは、気流の乱れの効果が特に位相差の変化に見られたので次に示す。なお、風上側床版における変位と圧力と同じ方向を正と定義したため、測点1～6では $0^\circ < \beta < 180^\circ$ が加振力、測点7～12では $-180^\circ < \beta < 0^\circ$ が加振力となる。いる。

Case 2. 一様流中の位相差(図-3)は、「姿勢変化直後の前縁近傍付近における負圧と圧力回復の発生、ならびにこれらの圧力変化的移動現象による」という流れフラッタ発生メカニズムの一つの説明を裏づける変化をしている。しかし、乱流中(図-4)の風下側床版の位相差は測点10を境に複雑な変化をしており、一様流中とは全く異なっている。

Case 3 の位相差(図-5・6)の変化は、どちらもよく似ている。ただし、ローカルに見ると乱流中の方が大きなか加振力となっている所もあり、流れフラッタの発生が空気力の微妙なバランスによることを示している。また、測点7の位相が測点6より進んでいるのは、グレーティングの影響と考えられる。

Case 4 の位相差(図-7、8)の変化パターンは、Case 1 に似ており、風下側床版の位相差が風速の上昇と共に小さくなっているのが特徴である。

#### 4. 結論

1) トランスクーリングの流れフラッタ発生メカニズムと密接な関係を持つマラメータとして、非定常圧力の位相差が考えられる。この位相差の風速変化に伴う変化のパターンは2種類あり、これは流れフラッタが発生する過程(=2つの原因が有ること)を示している。ただし、この2つのパターンは、同一床版上でも見られる。

2) 自励振動に対する気流の乱れの効果として、位相差の変化する速さが変えられる場合と、位相差の変化パターンが変えられる場合がある。

3) 気流の乱れの効果が位相差の変化パターンを変えても、応答としては気流の乱れの効果が現われない場合もある(Case 2)。これは、異なる原因による流れフラッタが同じ風速附近に発生したものと考えられる。

#### (参考文献)

- 1) Miyazaki・Miyata: Turbulence Effect on Response of Rectangular Cylinder, Proc. 5th Int. Conf. Wind Engg.
- 2) 中村・吉村: 橋梁断面のインデシャル運動時の流れの観察と圧力分布の測定, 土木学会第32回国次講演会要集

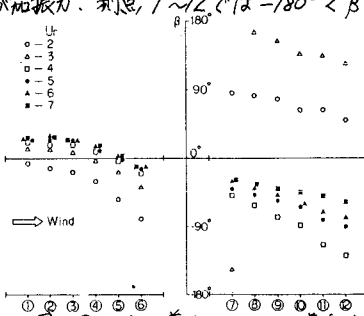


図-3. 位相差 (Case 2・一様流)

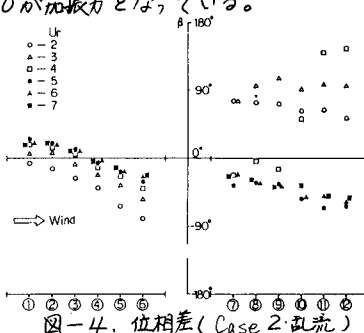


図-4. 位相差 (Case 2・乱流)

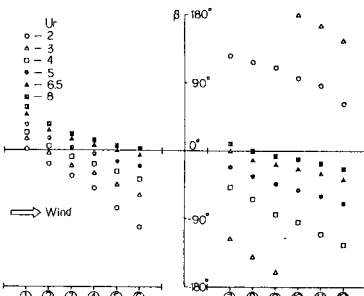


図-5. 位相差 (Case 3・一様流)

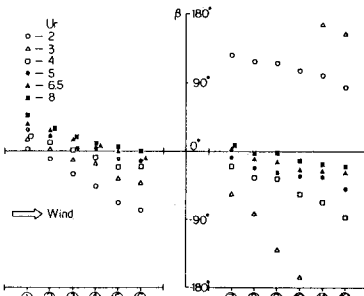


図-6. 位相差 (Case 3・乱流)

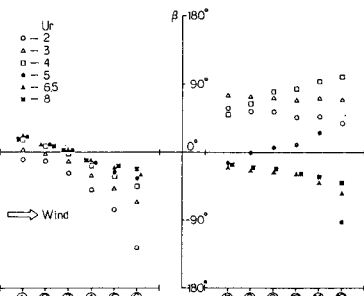


図-7. 位相差 (Case 4・一様流)

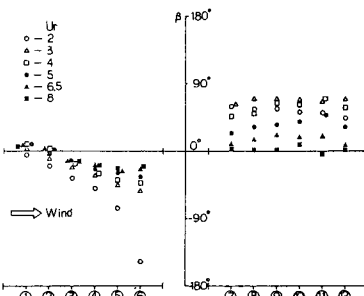


図-8. 位相差 (Case 4・乱流)